

1. Общая структура

Фотонная сфера Мунтяна — фрактальная система вложенных сфер, каждая из которых покрыта геодезической решёткой из пяти- и шестиугольников. Каждая фигура — кластер, включающий приёмно-передающие фотонные узлы. Сферы работают как многослойная фотонная нейросеть, где информация передаётся и принимается светом — без проводов, с мгновенной обратной связью.

Форма не обязательна к идеальной сфере: возможны эллипсоиды, пирамиды, кубы, икосаэдральные оболочки и иные многогранники. Ключевой принцип — 3D-обмен данными как между слоями, так и между смежными кластерами (сотами/нейронами).

1.1 Архитектура и взаимосвязь

- Внешние слои принимают сигналы извне и передают их внутрь.
- Внутренние слои одновременно принимают и отправляют данные наружу.
- Каждая сфера формирует двунаправленные фотонные каналы; каждый кластер связан с соседними, создавая пространственную сеть передачи информации.
- Световые потоки могут быть как когерентными (лазеры), так и рассеянными спектральными сигналами.

1.2 Иллюстрация общей геометрии

На иллюстрациях показаны многослойные сферы, каждая из которых состоит из сотен пентагональных и гексагональных кластеров. Красные лучи символизируют оптические каналы передачи между слоями.

1.3 Геометрия и плотность кластеров

Уровень	Радиус (см)	Кол-во кластеров (≈)	Кол-во связей	Функция
1	1	60	~300	Центральный узел, передача внутрь
2	2	240	~1200	Обработка сигналов
3	4	900	~5400	Суммирование и фильтрация
4	8	3600	~21600	Преобразование и маршрутизация
5	16	14400	~86400	Внешний приём/ передача

1.4 Формула роста кластеров

Количество кластеров (N_k) на сфере радиуса (r) аппроксимируется:

$$[N_k = 12 + 10 \left(\frac{r}{r_0}\right)^2]$$

где (r_0 = 1,\text{cm}) — радиус первой сферы. Формула вдохновлена геометрией фуллеренов: 12 пентагонов обеспечивают кривизну, а гексагоны — рост. Это удобно для процедурной генерации в CAD/3D (Blender и т.п.).

1.5 Материалы и конструкция

- Каркас: углеродное волокно или керамика с низким терморасширением.
- Покрытие: диэлектрические зеркала с отражением (R > 0{.}98).
- Кластеры: VCSEL-микролазеры + фотоприёмники (PIN/APD).
- Монтаж: коаксиальная подвеска, центровка и зазор 1–3 мм между слоями.

Каждая сфера — отдельный нейрофотонный слой; их совокупность — трёхмерная самоорганизующаяся вычислительная структура.

1.6 Фотонный «световой зазор» и зеркальные поверхности (новое)

Идея: заполнить пространство между слоями солнечным (или внутренним) светом и удерживать его с помощью зеркал на внутренних и внешних поверхностях каждого слоя.

Эффект: формируется замкнутое интерференционное поле стоячих волн. Оно:

- служит волновой памятью (паттерн это «запись» в объёме);
- даёт фотонную рекуперацию энергии (часть потока преобразуется в электроэнергию в фотодиодах кластеров);
- повышает когерентность и стабилизацию фаз за счёт множественных отражений.

Условия: высокое (R), спектральная развязка каналов, фазовая синхронизация по опорному тактовому полю.

Часть 2 — Кластеры и их устройство

2.1 Общая концепция кластера

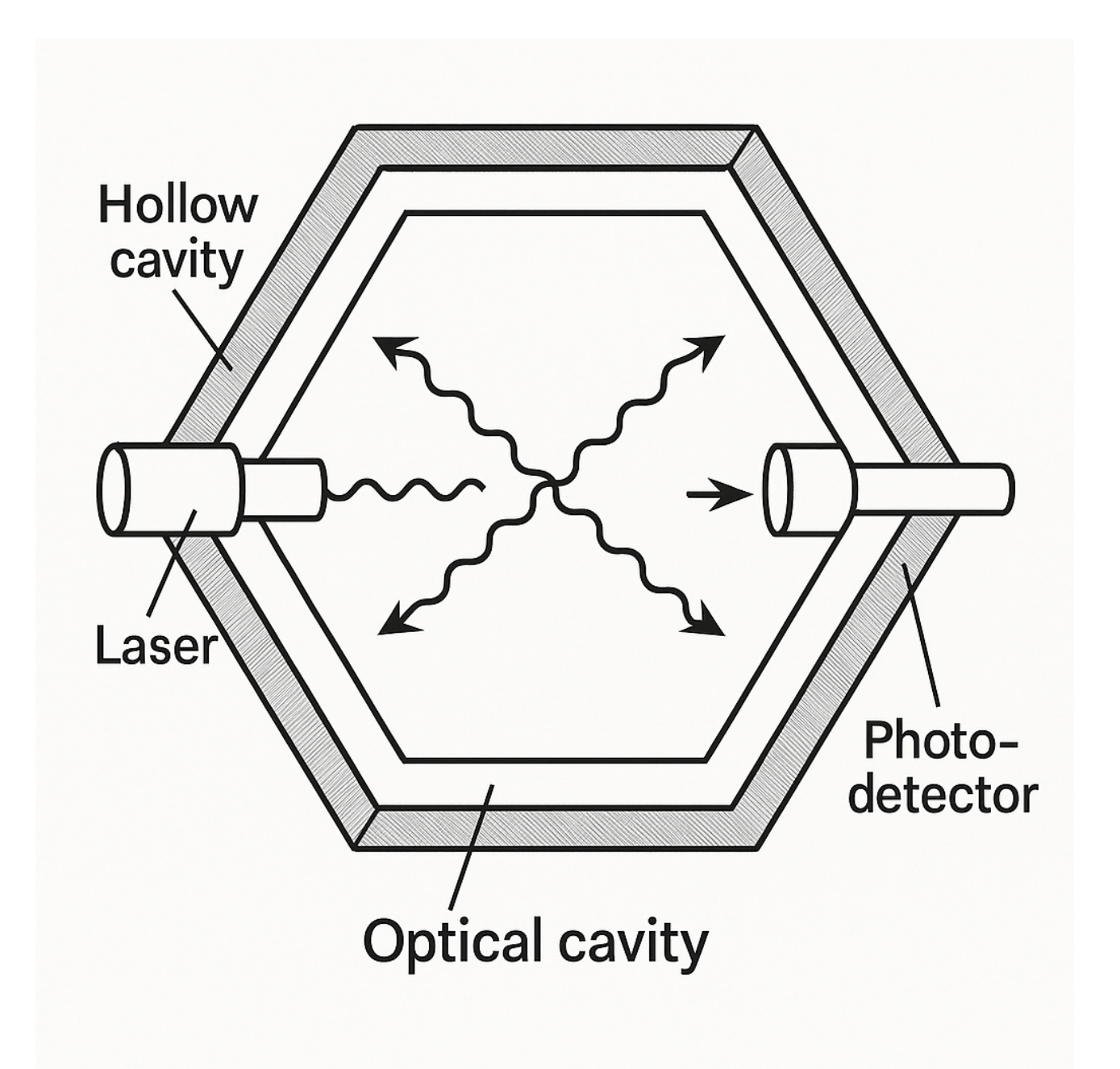
Каждый кластер — интеллектуальный фотонный узел (источник+приёмник+локальная обработка). Кластеры размещаются в вершинах пентагонов/гексагонов, образуя непрерывную вычислительную оболочку, где узлы взаимодействуют с соседями и со слоями выше/ниже.

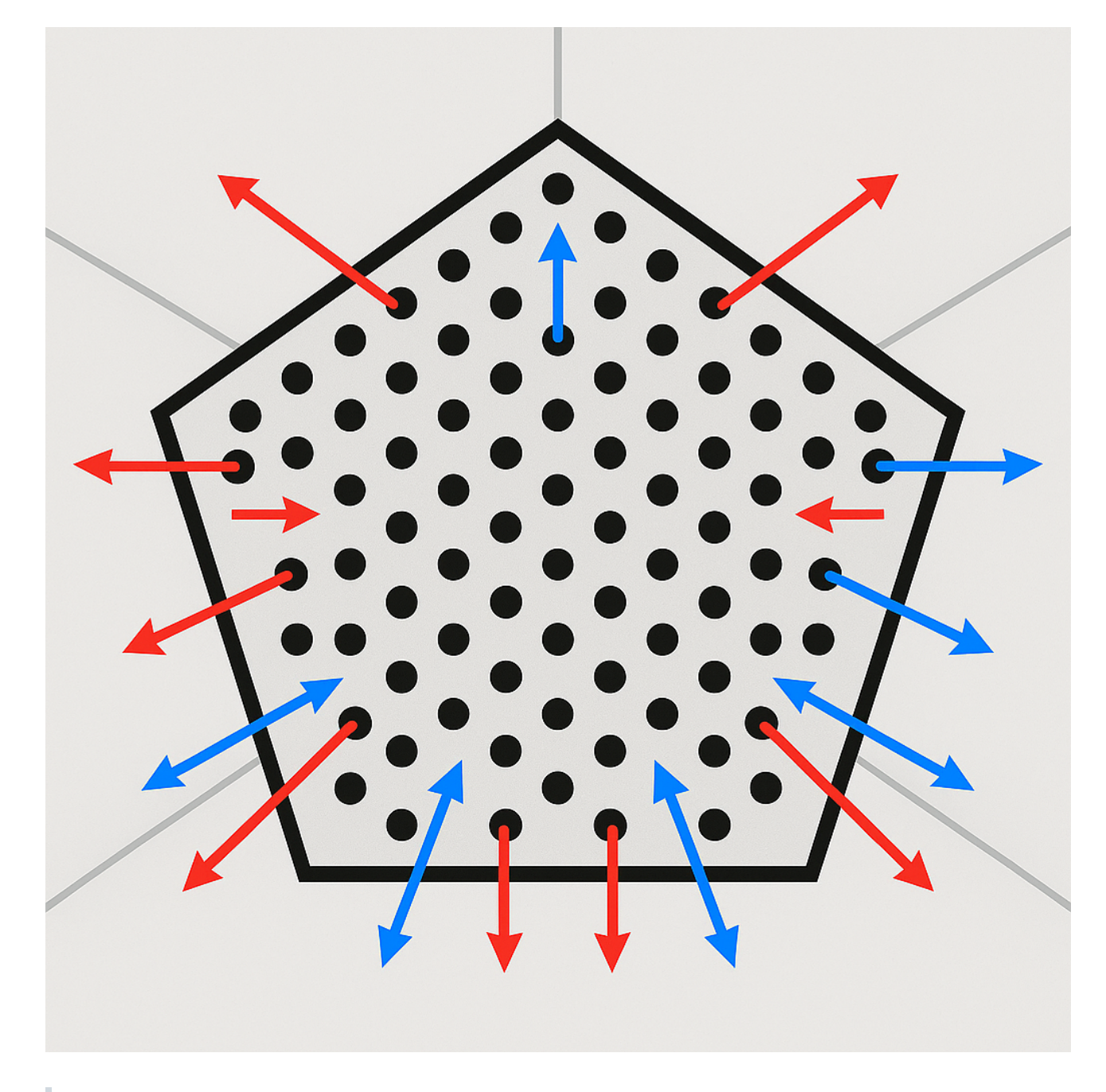
2.2 Структура и элементы кластера

- VCSEL-лазеры излучение внутрь/наружу.
- Фотоприёмники (PIN/APD) регистрация сигналов от соседних кластеров и сфер.

- Микролинзы/призмы фокусировка/перенаправление.
- **Микроконтроллер/ASIC** синхронизация, частота, фаза.
- Нанопитание рекуперация света, конденсаторные ячейки.
- Фотонные фильтры спектральная развязка направлений.

Оптическое хранилище (мод): шестиугольная втулочная геометрия образует микрорезонаторную полость; данные кодируются фазой/частотой/интенсивностью. Кластер ≈ «фотонный SSD» с многомерной ячейкой; матричное соединение формирует 3D энергонезависимые массивы.





Лазеры и приёмники распределены так, чтобы поддерживать радиальные и тангентные каналы, включая межкластерные связи по поверхности.

2.3 Каналы связи и направления потоков

Тип канала	Направление	Назначение	Диапазон длин волн
Радиальные	Внутрь/наружу	Межслойная передача	405–650 нм
Тангентные	По поверхности	Связь с соседними кластерами	520–560 нм

Тип канала	Направление	Назначение	Диапазон длин волн
Резонансные	Отражённые волны	Стабилизация фаз, обратная связь	850–950 нм

Скорость прохождения одного слоя — (<10^{-8},\text{c}), что задаёт пикосекундные масштабы отклика.

2.4 Двунаправленность и обратная связь

Система использует спектральное разделение и фазовую модуляцию. Взаимодействия:

- радиальные (межслойные),
- топологические (межкластерные),
- резонансные (через отражения/интерференцию волновая память).

2.5 Принцип нейронного взаимодействия

Состояние кластера определяется (A,,\varphi,,\lambda). Выход зависит от суммарного отклика сети (аналог взвешенной активации). Обучение — через адаптацию коэффициентов усиления/фильтров. Обратные многослойные пути реализуют физическую форму «градиентного спуска» и формируют оптический «коннектом».

Часть 3 — Принцип двунаправленной связи

3.1 Идея

Каждый кластер одновременно излучает и принимает, создавая замкнутую систему обратных каналов. Это обеспечивает постоянную коррекцию, синхронизацию и передачу информации между уровнями.

3.2 Передача

Когерентные VCSEL + поляризованный рассеянный свет. Кодирование: (A) (амплитуда), (\varphi) (фаза), (\lambda) (длина волны). Оптический «пакет» содержит континуум состояний.

3.3 Приём

Фотоприёмники с фазовой выборкой и спектральной развязкой восстанавливают направление и структуру сигнала. Обработка — на уровне фотонов (без электроники); до (10^6) событий/с на кластер при пренебрежимом тепловыделении.

3.4 Обратная связь

Отражения от сфер порождают резонансное поле. Стоячие узоры — физическое представление информации. Стабилизация:

- локальная (между соседними кластерами),
- глобальная (между слоями).

3.5 Интерференция и память

Пересечение потоков даёт интерференцию — физическую реализацию матричных операций. Интенсивность в точке пространства соответствует значению отклика. Узоры сохраняются и обновляются при изменении входа.

Часть 4 — Оптические характеристики и параметры

4.1 Диапазоны и распределение каналов

Назначение	Диапазон (\lambda)	Источник	Средняя мощность
Внутренняя передача (к центру)	400–470 нм	Синие лазеры (GaN)	5 мВт
Внешняя передача (наружу)	630–690 нм	Красные лазеры (AlGaInP)	10 мВт
Межкластерные (по поверхности)	520–560 нм	Зелёные (Nd:YAG)	3 мВт
Служебная синхронизация	850–950 нм	IR VCSEL	2 мВт

4.2 Плотность потока и нагрузка

Средняя оптическая плотность для кластера (<10,\text{мВт}/\text{cм}^2). При 10 слоях суммарная плотность (\sim1,\text{BT}/\text{cм}^2), что соответствует (\sim10^{12}) оп/с при (<10,\text{Вт}) потребления.

4.3 Когерентность

Фазовая синхронизация по опорному тактовому полю центральной сферы. Дрейф между слоями (<10,\text{пс}). Локальные связи стабилизируются резонансами.

4.4 Задержки

• Межслойная: до 30 пс

• Межкластерная: до 10 пс

4.5 Эффективность и КПД

(\eta = $P_{useful}/P_{input} \approx 0{.}95$). Отсутствие джоулевых потерь даёт выигрыш в 50–100× против GPU/TPU при равной задаче.

4.6 Шумоустойчивость

Мультиспектральные каналы + фазовая синхронизация → устойчивость к шумам. Интерференционные узоры формируют **волновую память**.

Часть 5 — Межкластерные взаимодействия

5.1 Схема взаимодействий

Три уровня связей:

- локальные (топологические): на одной сфере (синхронизация/корреляция),
- радиальные (иерархические): между сферами (передача уровней),
- резонансные (обратные): через отражения (когерентность/память).

5.2 Согласование фаз

- 1. Измерить фазу/амплитуду приходящих волн. 2) Оценить отклонение от синфазы.
 - 3) Подстроить фазу лазера. 4) Передать обновлённый сигнал. Цикл МГц-диапазон, поддерживает фазовое равновесие с минимальными потерями.

5.3 Самоадаптация

Адаптивная подстройка интенсивности/частоты/поляризации компенсирует сбои, перераспределяет нагрузку и улучшает точность без внешнего управления. Формируются устойчивые паттерны (оптический интеллект).

5.4 Волновая память

Стоячие волны в объёме — энергонезависимая запись; чтение — усилением целевых (\lambda). Память обновляется естественно при изменениях входов.

5.5 Топология и устойчивость

Многослойный «нейрограф» с высокой связностью; деградация частичных узлов не выводит систему из строя благодаря самовосстанавливающимся путям.

Часть 6 — Энергетика и эффективность

6.1 Принципы энергообеспечения

Основные затраты — VCSEL, синхронизация, стабилизация положения. Прямое преобразование света в информацию минимизирует потребление. Кластеры используют фотонную рекуперацию (часть потока → фотоэлементы), образуя самоподдерживающийся цикл.

6.2 Радиальное распределение энергии

[$E_i = E_{i-1} (1 - k_d) + P_{rec}$, \quad k_d \approx 0{.}05,\ P_{rec} \approx 0{.}1E_{i-1} \Rightarrow \text{эффективность} \sim 95%.]

6.3 Тепло

Почти отсутствие тепловыделения. Охлаждение: инфракрасное излучение, конвекция по микроканалам каркаса, управляемое альбедо покрытия. Пиковые температуры (<40^\circ\text{C}).

6.4 Сравнение эффективности (оценки)

Параметр	GPU (2025)	TPU v5	Фотонная сфера
Энергия на 1 МАС	100 пДж	10 пДж	0.1 пДж

Параметр	GPU (2025)	TPU v5	Фотонная сфера
Плотность оп/с	(10^{12})	(10^{13})	(10^{15})
Потребление	300 Вт	200 Вт	<10 Вт
Тепло	Высокое	Среднее	Минимальное
Охлаждение	Нужно	Нужно	Не требуется
Тип	Электронные	Электро-опт.	Чисто фотонные

6.5 КПД передачи

 $(\text{eta}_{\text{trans}}) = P_{\text{useful}}/P_{\text{input}} \$ потери — отражения/дифракция при межслойных переходах.

6.6 Саморегуляция

Интенсивность излучения кластеров адаптируется к нагрузке → баланс производительности и долговечности.

Вывод: система — самоподдерживающийся фотонный организм, годами работающий без внешнего питания, сохраняя энергию внутри и преобразуя её в информацию.

Часть 7 — Прототипирование и реализация

7.1 Цели прототипа

Демонстрация межслойной передачи, синхронизации и обратной связи. Даже две вложенные сферы воспроизводят базовую модель когерентного взаимодействия.

7.2 Материалы/оборудование (пример)

- 3D-печатные сферы (PLA/PETG) каркас
- CD/DVD/Blu-ray лазеры источники света
- Фотодиоды BPW34 приём
- Arduino Mega / ESP32 управление
- ШИМ-драйверы (TLC5940) мощность лазеров
- Линзы/фильтры оптика

• БП 5 B / 3 A — питание

7.3 Компоновка (2 сферы)

- Внешняя: приём и переизлучение
- Внутренняя: генерация и модуляция
- Зазор 2–3 мм, по 12 кластеров (вершины пентагонов). Радиальные каналы между ними. Общий опорный таймер, связь по I²C/SPI.

7.4 Принцип работы

1. Внутренняя сфера излучает когерентные импульсы. 2) Внешняя принимает и отражает. 3) Внутренняя анализирует фазу/задержку. 4) Контроллер подстраивает частоту/мощность до когерентного режима.

Признаки устойчивости: постоянное свечение, интерференционные полосы.

7.5 Этапы сборки

1. Печать полусфер (10 см и 5 см). 2) Монтаж лазеров/приёмников. 3) Пайка и подключение к МСU. 4) Прошивка РWM/таймера. 5) Фазовая настройка по фотодиодам/осциллографу.

7.6 Наблюдения

Устойчивая интерференция; фазовая стабилизация за 1–2 с; выраженная обратная связь; выравнивание интенсивностей.

7.7 Масштабирование

Добавление промежуточных сфер, глобальная фазовая синхронизация, питание/ термоконтроль. Для 3–10 слоёв — переход к интегрированной фотонике (InP, SiN).

Часть 8 — Масштабирование и применение

8.1 Принцип масштабирования

От прототипов — к промышленным системам при сохранении когерентности, энергоэффективности и самоорганизации.

8.2 Геометрическое масштабирование

 $(r_{n+1} = 2r_n)$. Количество узлов растёт (\sim3{.}6\times) на уровень; площадь — в (\sim4\times). При 10 слоях — (10^8-10^9) кластеров.

8.3 Технологическое масштабирование

InP/SiN/сапфир, планарные волноводы, микрорезонаторы, полупрозрачные слои, CMOS-совместимое производство. Размещение десятков миллионов кластеров на 10–20-см кристалле толщиной <1 см.

8.4 Направления применения

- **ИИ-ускорители, автономные ИИ:** 100–1000× экономичнее при сопоставимой мощности
- **Научные симуляции:** молекулярка, климат, астрофизика параллельные оптические поля
- Космос: работа в вакууме без охлаждения, устойчивость к радиации
- Квантовые интерфейсы: низкопотерные оптические соединения квантовых узлов
- Дата-центры: фотонные стойки с резким снижением тепла

8.5 Экономика и экология

99% снижение энергопотребления vs электроника; минимальные требования к охлаждению/инфраструктуре; автономная работа в замкнутых средах; ресурс оптики (>10^6) часов.

8.6 Перспективы

Гибридные архитектуры ИИ/квант; распределённые сети фотонных сфер.

Прототип: 2–3 слоя, 3D-печать + светодиоды/лазеры, Arduino. Бюджет ~500 USD.

Часть 9 — Этические и правовые аспекты

9.1 Ответственное применение

Только мирные цели: наука, образование, энергоэффективные вычисления.

9.2 Запрещено

Оружие; военные действия/слежка; вмешательство в когнитивные процессы без согласия; вред природе; дестабилизация инфраструктур.

9.3 Авторское право

Автор: Фёдор Алексеевич Мунтян (© 2025) muntyan-photonics.su github.com/ispolkom/muntyan-photonics.su Любое копирование/распространение/модификация — с указанием автора и ссылки на официальный сайт. Коммерческое использование — только по письменному согласию. Русская версия имеет приоритет.

Дополнения — Квантовый слой и AR/VR

- **Квантовые точки (QDs)**: локальные состояния/метастабильная память; роль квантовых регистров в гибридном «quantum layer»; интеграция через спектрально разделённые каналы и микрорезонаторы.
- AR/VR: «оптические мозги» для иммерсивных миров с минимальным энергопотреблением и реальным временем отклика.

FAQ

Как интегрировать с существующими ИИ-системами? Через оптические интерфейсы/межсоединения (кремниевая фотоника): волноводы/оптоволокно и оптоэлектронные мосты к GPU/TPU; обмен оптическими пакетами.